

PAPER DETAILS

TITLE: DAIRESEL ÖN DUVAR KESİTLİ SALINIMLI SU SÜTUNU TIPI ENERJİ
DÖNÜSTÜRÜCÜDE VERİM ARTISI

AUTHORS: Anil Çelik

PAGES: 261-267

ORIGINAL PDF URL: <https://dergipark.org.tr/tr/download/article-file/3572685>



Araştırma Makalesi / Research Article

Dairesel ön duvar kesitli salınımlı su sütunu tipi enerji dönüştürücünde verim artışı

*Efficiency improvement of an oscillating water column with a cylindrical frontwall underlip***Anıl Çelik¹**

¹ İstanbul Teknik Üniversitesi, İnşaat Mühendisliği Bölümü, celikani@itu.edu.tr
ORCID: <https://orcid.org/0000-0002-4648-451X>

MAKALE BİLGİLERİ**ÖZ***Makale Geçmişti:*

Geliş 1 Aralık 2023
Revizyon 7 Şubat 2024
Kabul 14 Şubat 2024
Online 29 Mart 2024

Anahtar Kelimeler:

*Salınımlı su sütunu (SSS),
Dalga enerji dönüştürücü,
Verimlilik,
Güç alma yapısı,
Yumuşak geçişli geometri*

Dalga enerji dönüştürücüler içinde salınımlı su sütunu (SSS) öne çıkmaktadır. Klasik SSS yapısı ön duvar giriş ağzı köşeli olup dalga akımının SSS haznesine giriş çıkışlarında akış ayrılmamasına ve dolayısı ile çevrıntı ve girdap oluşumuna sebebiyet vermektedir. Bu da absorbe edilen gelen dalga enerjisinin kısıtlı miktarda kalmasına sebebiyet vermektedir. Bu çalışmada SSS hazne ön duvarı giriş ağzı için dairesel kesit önerilmiştir. Değişik miktarlardaki güç alma mekanizması söküme seviyeleri (orifis kullanılarak simülle edilmiş) için fiziksel deneyler icra edilmiş, hem klasik SSS yapısı hem de dairesel duvar giriş ağzı ön kesetine sahip hazne verimleri hesaplanmış ve karşılaştırılmıştır. Her bir orifis oranı (güç alma yapısı söküme oranı) için dairesel kesitli ön duvar ağzına sahip olan yapının verimliliği artış göstermiştir. Maksimum verim artışı, en düşük söküme (en yüksek orifis çapı) miktarı için yüzde 21.1 olarak gerçekleşmiştir. SSS hazne ön duvarı akış ayrılması sonucunda oluşan yüksek kayma gerilmelerine de maruz kalmaktadır. Ön duvar altının dairesel kesit olması durumunda gerçekleşmeyecek veya kısıtlı olacak kayma gerilmeleri ile yapı ön duvarının yıpranması azaltılacak ve bu suretle SSS yapı ömrü uzayacaktır. Ayrıca SSS yapısından maksimum verim elde etmek için gerekli optimum orifis çapı oranı 0.04m olarak tespit edilmiştir.

ARTICLE INFO**ABSTRACT***Article history:*

Received 1 December 2023
Received in revised form 7 February 2024
Accepted 14 February 2024
Available online 29 March 2024

Keywords:

Oscillating water column (OWC),
Wave energy converter,
Efficiency,
Power-take off,
Streamlined geometry

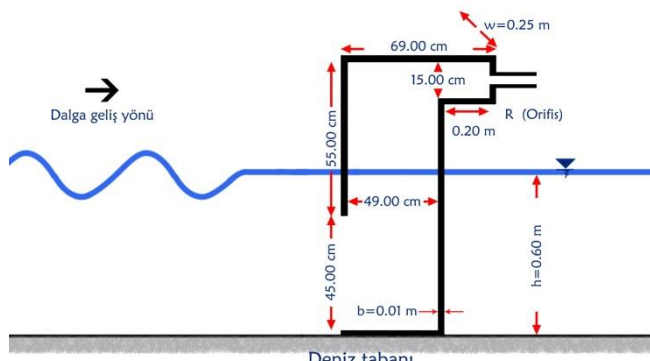
Oscillating water columns (OWC) are promising ones among wave energy converters. A conventional OWC frontwall underlip has a rectangular cross section. Therefore, during the water flow entering and exiting out of the chamber frontwall, flow separation occurs leading generation of vortex and eddies. This phenomenon indicates loss of energy and restricts the amount of wave energy extraction from incident waves. In this study, a frontwall underlip geometry with a circular cross section is suggested. Physical experiments are conducted under regular incident waves for different levels of applied power take off damping. The efficiency of both classical and newly suggested OWCs are contrasted with each other. For every incident wave and level of PTO damping, the efficiency of the OWC with cylindrical frontwall underlip cross section is found to increase. Maximum efficiency improvement is materialized as 1.211 for the lowest value of the PTO damping. Further, the cylindrical underlip shape that has been introduced is also deemed significant from a structural design perspective due to their crucial role in reducing the considerable shear stresses induced by large vortices, which the front wall of an oscillating water column (OWC) must withstand. Further, the optimum orifice diameter for maximum efficiency of the OWC is found to be 0.04m.

Doi: 10.24012/dumf.1398958

* Sorumlu Yazar

Giriş

Üçte ikisinden fazlası sularla kaplı dünyamızda, dalga enerjisi önemli bir yenilenebilir enerji kaynağıdır. Salınımlı su sütunu (SSS) tipi dalga enerji dönüştürücü yapısı diğer dalga dönüştürücüler arasında, basit çalışma mantığı ile bir adım öne çıkmaktadır. SSS yapısı içi boş bir havadan oluşmaktadır. Kısmi suya batırılan haznenin biri su altında olmak üzere iki açılığının bulunmaktadır. Haznenin içinde oluşan su sütunu alt açılık vasıtayla dalga etkisine maruz kalmakta ve, yukarı aşağı yönlü periyodik olarak hareket etmektedir. Su sütununun hemen üzerinde bulunan hava kütlesi de bu hareket neticesinde havanın içinde su seviyesi üzerinde bulunan küçük bir açılıktan yüksek hızlarda yapıya giriş çıkış yapmaktadır. Peş要知道 sira basınç ve emme etkisine hiz yükseklili hava akımı önüne yerleştirilecek bir türbin ve jeneratör yardımıyla dalga enerjisinden elektrik üretmek mümkün olmaktadır. Şekil 1 bu çalışmada kullanılan tipik bir SSS yapısını göstermektedir.



Şekil 1. Deneylerde kullanılan SSS yapısı ve geometrik ölçüler.

Okyanuslar ve denizlerdeki dalgalar yüksek miktarda yenilenebilir enerji potansiyeline sahiptir. Buna rağmen henüz ticari üretime geçmiş herhangi bir dalga enerji alma yapısı bulunmamaktadır. Bunun ana nedeni dalga enerjisinin elektrik enerjisine dönüşümündeki düşük verimlilik oranlarıdır [1]. Dalga enerji dönüşümü, hidrodinamik (pinomatik), türbin, jeneratör ve dağıtım gibi farklı dönüşüm safhalarından oluşmaktadır. Hidrodinamik safha, dalga elektrik enerjisi dönüşüm zincirindeki ilk aşamayı oluşturmaktadır. Bu aşamada gelen dalga enerjisinin bir kısmı yapı içine alınmaktadır (bir kısmı ön duvardan geri yansımaktadır), su sütunu vasıtayla hava sütununa iletilmektedir. Bu safhada dönüştürülen enerji miktarı diğer aşamalara aktarılacak olan enerji miktarını da belirleyeceğinden pinomatik dönüşüm önem arz etmektedir [2].

Genel olarak yapıya gelen dalga enerjisinin tümü hava akımı kinetik enerjisine dönüştürmemekte, enerji kayipları yaşanmaktadır. Önemli enerji kayiplarından bir tanesi yapı keskin kenarlarından dolayı oluşacak çevrıntı ve girdaplardır. [3] periyodik salınımlı akımda, yapı keskin kenarlarında çevrıntı hareketi oluşumunu tesbit etmiştir. Deneyel çalışmalarında, [4] ileri görüntüleme teknikleri kullanarak, salınımlı akımın hem ovalleştirilmiş hem de keskin köşeli yapıyla etkileşimiğini görüntülemiştir. Keskin

köşeli yapıdan dolayı oluşan çevrıntı ve girdap hareketinin dalga enerjisi dönüşümünde elde edilen gücün sınırladığını ortaya çıkarmışlardır.

Dalganın fiziksel olarak ilk karşılaştığı yapı elemanı SSS ön havane duvarıdır. Dalga - yapı ön duvari etkileşimi dalga enerjisine has olup karmaşık, türbülanslı ve doğrusal olmayan bir tabiat sahiptir [5]. Gelen dalga yapı içine nüfuz ederken dalga ön duvar alt ucuya etkileşimi sonucu çevrıntı ve girdaplar oluşmaktadır ve bu çevrıntı ve girdaplar hemen sökülmememekte ve dalga enerji giriş ağzını kısmi olarak bloke etmektedir [6]. Konuya ilgili literatür taraması yapıldığında SSS yapı ön duvarının büyük çoğunlukla köşeli olduğu görülmektedir. Bazı çalışmalar keskin köşeli yapı ön duvarı altında akış ayrılması olacağını deneylerle test etmiş [3] ve enerji kaybı yaşanacağını belirtmiştir. Bunun üzerine bazı nadir çalışmalarla keskin köşeli ön duvarının ovalleştirilmek suretiyle enerji kayiplarının azaltılması amaçlanmıştır [4,6,7]. Lakin iyileşmeler sağlanan da bu çalışmalar istenilen neticeyi vermemiştir. Mevcut çalışmada ise ilk defa yapı ön duvar giriş ağzı dairesel kesitli olarak tasarlanmış ve akış ayrışmasının önüne geçip enerji kayiplarının en aza indirilmesi durumu deneysel olarak araştırılmıştır. Bu sayede yapı içine periyodik olarak giriş çıkış yapan dalga akımının enerji kayiplarından minimum etkilenmesi, olacak girdap ve çevrıntı oluşumlarının engellenmesi veya azaltılması düşünülmüştür. Böylece yapıya gelen dalga enerjisinin daha düzenli bir akış rejimine kavuşarak hava sütununa iletilmesi öngörülmüştür.

Bu bağlamda çalışmanın hedefleri aşağıdaki şekildeki şevidedir:

1. Deneysel olarak sabit bir SSS yapısının farklı özellikteki dalga karakteristikleri altında farklı güç alma yapısı seviyeleri için havanın içinde oluşturacak su yüzeyinin dikey yer değiştirmesinin ve havanın basıncının ölçülmesi,
2. Aynı ölçümlerin SSS yapı ön duvar alt giriş kısmının silindirik olması halde tekrarlanması,
3. Elde edilen veriler yardımıyla SSS yapısının farklı dalgalarındaki hidrodinamik veriminin hem klasik yapı ön duvarı hem de silindirik giriş ağzı ön duvarı için hesaplanması,
4. Sonuçların karşılaştırılması suretiyle silindirik giriş ağzılı ön duvara sahip SSS yapısının olası verim artışının hesaplanması ve yorumlanmasıdır.

Material ve metot

Bu çalışma kapsamındaki deneyler İstanbul Teknik Üniversitesi Hidrolik laboratuvarında bulunan 30 metre (m) uzunlığında, 1 m genişliğinde ve 1.2 m derinliğindedeki cam duvarlı dalga kanalında icra edilmiştir. Dalga kanalı servo piston tipi dalga üretici donanımı vasıtayla istenilen tipte düzenli ve düzensiz dalgaları üretebilmektedir. Dalga kanalının resmi Şekil 2'de verilmiştir.

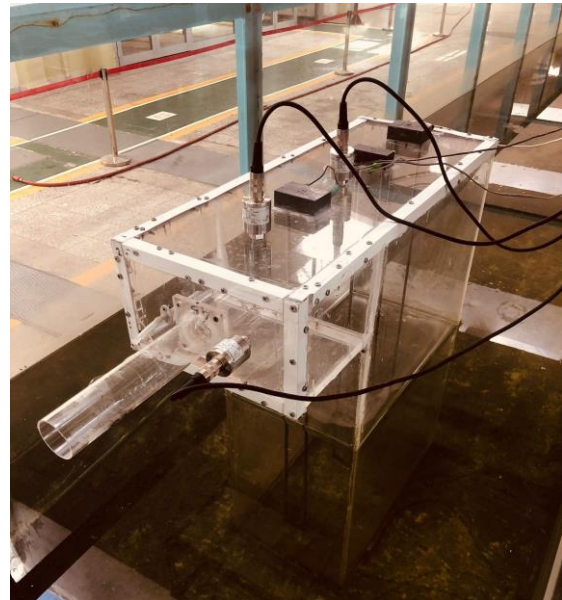


Şekil 2. Deneylerde kullanılan dalga kanalı.

Dalga kanalının sonunda gelen dalgaları sönümlmek için çeşitli ebattaki granüler malzemeden 1:7 eğimli bir rampa yapılmıştır. Salınımlı su sütunu (SSS) yapısı klasik dikdörtgen olup, sağlamlığı ve saydamlığı sebebiyle 1 cm pleksiglas malzemeden inşa edilmiştir. Yapının şekei ve ölçüleri Şekil 1 de verilmiştir. SSS yapısı dalga kanalı içine giriş ağızı dalga paletine dönük olarak, yapının ve dalga kanalının boyuna eksenleri çıkışacak şekilde yerleştirilmiştir. SSS dalga paletinden uzaklığı 19.25m olacak şekilde kanal içine yerleştirilmiştir. Dalga etkisi altında hareket etmemesi için yapı işkenceler vasıtasiyla kanal demirlerine sabitlenmiştir. SSS yapısının dalga kanalı içinde olduğu bir fotoğraf Şekil 3'de verilmiştir.

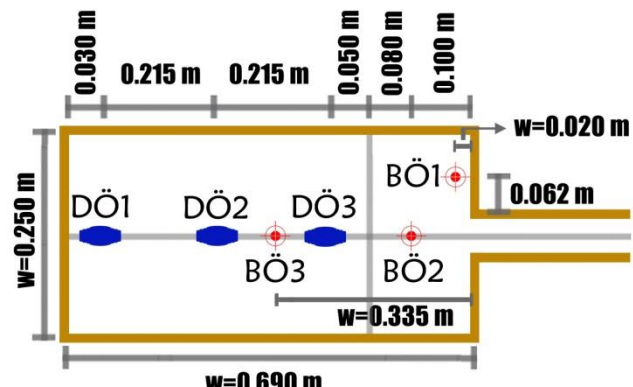
Salınımlı su sütunu (SSS) yapısı ön giriş ağızı gelen dalga yönüne baktmaktadır. Dalga etkisi altında, gelen dalganın alt kısmında orbital yörüngede izleyen su molekülleri dalga tepesi yapıya ulaştığında, yapı ön giriş ağızından içeriye girecektir (yapı dışındaki su seviyesi dalga tepesiyle beraber yapı içi su seviyesinden daha yüksek olmaktadır). Dalga çukuru yapıya ulaştığında ise hazne içi su seviyesi daha yüksek olmakta ve hazzneden dışarı su akışı gerçekleşmektedir.

SSS yapısı uygulamaları açık denizde ve sig denizde ve kayalıklara veya mendirek yapılarına monte edilmek suretiyle inşaa edilebilmektedir. Açık denizde uygulanması durumunda halatlarla taban zeminine sabitlenebilmektedir. Ama bu çalışma bir sig su uygulamasına örnek teşkil etmektedir. Yapı sig suda inşa edilecek (veya dışarıda imal edilmiş deniz içine montesi yapılacak) ve yapı tabanı deniz tabanına oturtulacaktır. Bu şekilde orifis tarafından su seviyesi yapının türbin tarafından (yapı arkasındaki) su seviyesine tekabül etmektedir. Yapı bu şekilde arka kısmı kayalıklara veya mendirek kısımı yaslanmış şekilde inşa edilebilmektedir. Bu takdirde yapı arkasında orifis tarafından su bulunmayacaktır.



Şekil 3. Kanal içinde SSS yapısı.

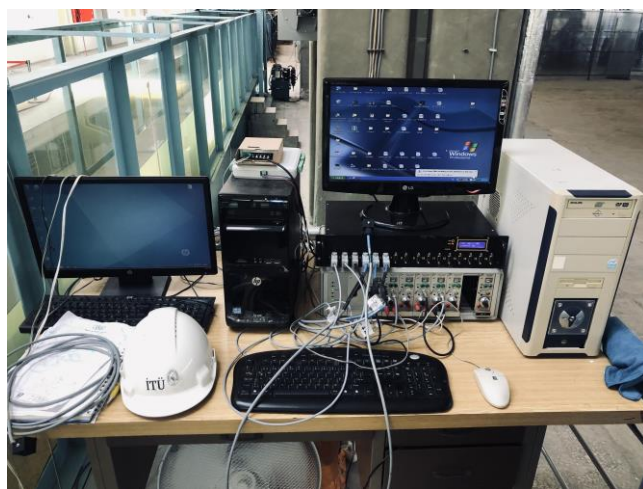
Yapıya gelen dalgaların dalga genliği ve periyot değerlerine göre yapı içindeki su sütunu ya piston gibi yukarı aşağı yönlü haraket etmekte ya çalkantı hareketi yapmakta ya da bu iki hareket tipinin birleşimi şeklinde hareket etmektedir. SSS yapısının verimini artıran en önemli faktör hazne içi su sütununun piston hareketi yapmasıdır. Birçok gelen dalga yükseklikleri ve peryotları için SSS yapısı hazne içi su sütunlu hareketleri incelemiştir. Dalga yüksekliğinin 0.07m ve dalga peryodunun 1.8sn olması durumu için su sütununun tam bir piston hareketi yaptığı tespit edilmiş ve bu dalga parametreleri deneylerde kullanılmıştır. Gelen dalganın ölçümüleri SSS yapısı kanal içinde değilken yapılmıştır. Su sütunu dikey salınım miktarı üç adet rezistans tipi dalgaölçer vasıtasiyla ölçülmüş olup, ortalamaları alınmak suretiyle ortalama su sütunu yüzeyi (SSY) değişim zaman serileri oluşturulmuştur. Dalgaölçerlerin yerleri Şekil 4'de gösterilmiştir.



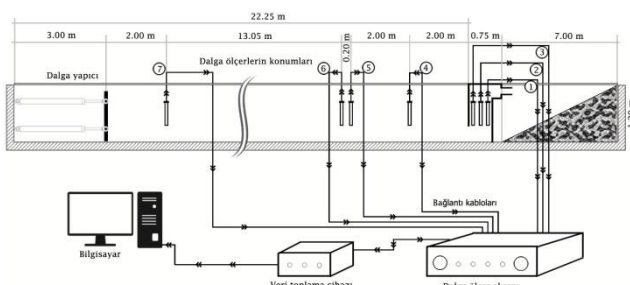
Şekil 4. SSS yapısı üstten görünüsü (DÖ: Dalga Ölçer, BÖ: Basınç Ölçer).

SSS dalga enerji dönüştürücü güç alma yapıları (ör. türbin) su sütunu salınımı etkisiyle yapı içinde hava basıncı oluşumuna sebep olarak dalga enerji dönüşümüne olanak sağlamaktadır. Bu çalışmada güç alma yapısı bir orifis

vasıtısıyla simüle edilmiştir. Farklı çaptaki orifisler farklı miktarda güç alma sönümleme miktarlarına tekabül etmektedir. Burada dikkat edilmesi gereken husus orifis çapı arttıkça sönümleme miktarı azalmakta, orifis çapı azaldıkça da sönümleme miktarı artmaktadır. Bu çalışmada çapları 2.5 cm, 3 cm, 3.5 cm, 4 cm ve 4.5 cm olmak üzere 5 farklı orifis boyutu deneylerde kullanılmıştır. Yapı haznesinde oluşan hava basınç değerleri Keller PR41-X düşük basınç kaydediciler vasıtısıyla ölçülmüştür. Basınçölçerlerin konumları Şekil 2'de verilmiştir. Tüm ölçümler 125 Hz frekansta 64-bit veri toplama cihazıyla alınmış ve bir amplifikatör yardımıyla sinyal değerleri yükseltilmiştir. Veri toplama süresi yapı ön duvarından yansızan dalgaların dalga paletinden geri yansıyarak deney dalgasıyla çakışmasını engellemek için 25 sn olarak belirlenmiştir. Kullanılan deney elemanları Şekil 5'te verilmiştir. Kullanılan şematik deney düzeneği Şekil 6'te gösterilmiştir.

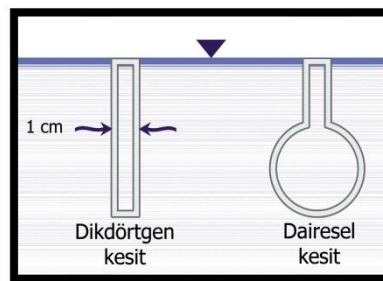


Şekil 5. Deneylerde kullanılan elektronik ölçüm cihazları.



Şekil 6. deneysel düzeneğin görünümü.

Bu çalışmada SSS yapı ön duvari altı silindirik giriş ağızı olacak şekilde tasarlanmıştır. Bu sayede dalga enerji girişi esnasındaki sürtünme etkileriyle oluşacak enerji kayıplarının minimuma indirilmesi öngörlülmüştür. Şekil 7'de SSS yapı ön duvarının en kesiti gösterilmiştir. Ayrıca Şekil 8'de dairesel yapı giriş ağızının bir fotoğrafı verilmiştir.



Şekil 7. Yapı ön duvarının klasik ve dairesel en kesiti.



Şekil 8. Dairesel yapı giriş ağızının fotoğrafı.

Lineer dalga teorisine göre birim yüzey alanına düşen ortalama dalga enerjisi aşağıdaki formülle bulunabilir.

$$E = \frac{1}{8} \rho g H^2 \quad (1)$$

Bu denklemde ρ suyun yoğunluğunu, g yerçekim ivmesini, H ise dalga yüksekliğini ifade etmektedir. Dalga enerjisi dalga grup hızında hareket ettiğinden ötürü, dalga tepesi birim genişliği için ortalama güç aşağıdaki şekilde ifade edilebilir.

$$P = E \cdot c_g , \quad (2)$$

$$c_g = \frac{\omega}{k} \left[\frac{1}{2} \left(1 + \frac{2kh}{\sinh(2kh)} \right) \right] , \quad (3)$$

$$k = \frac{2\pi}{L} , \quad (4)$$

$$\omega = \frac{2\pi}{T} , \quad (5)$$

Burada, c_g grup hızını, ω dalga frekansını, k dalga sayısını, h su derinliğini, L dalga boyunu ve T 'de dalga periyodunu göstermektedir. Küçük boyutlu model çalışmalarında SSS hıznesi içindeki hava sıkıştırılamaz kabul edilmektedir [8-10]. Bu kabul çerçevesinde SSS yapısının absorbe ettiği dalga enerjisi miktarı şu formülle hesaplanabilir.

$$P_{owc} = \frac{1}{T} \int_0^T p(t) A_w v(t) dt . \quad (6)$$

$p(t)$ and $v(t)$ anlık hava basıncı ve anlık ortalama salınımlı su yüzeyi dikey hızını göstermektedir. $v(t)$ ise dördüncü dereceden doğrulukla sayısal olarak aşağıdaki formülle hesaplanabilir.

$$V^4_i = \frac{-d_{i+2} + 8d_{i+1} - 8d_{i-1} + d_{i-2}}{12\delta t}. \quad (7)$$

Burada d_i , durgun su derinliğine göre, i anındaki ortalama su sütunu dikey yer değiştirmesini ve δt ise sayısal zaman adımlını ifade etmektedir. SSS tipi dalga enerji dönüştürücü verimi, ξ aşağıdaki denklem ile bulunabilir.

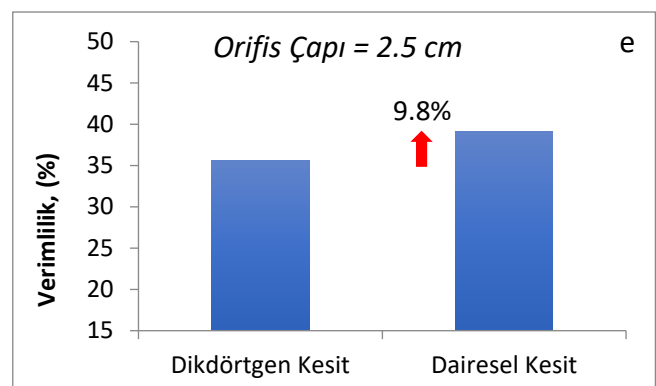
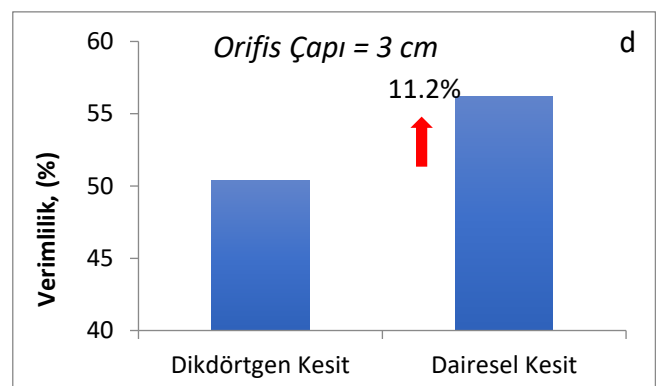
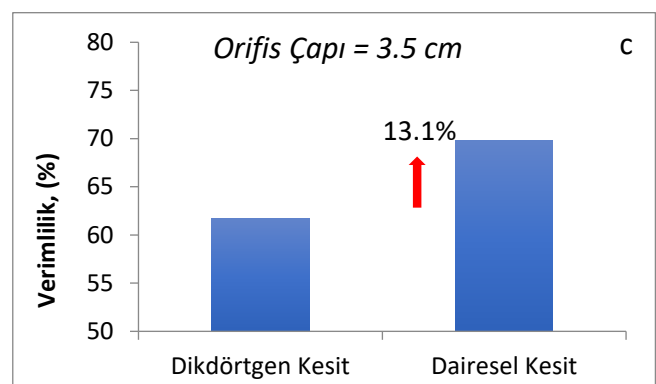
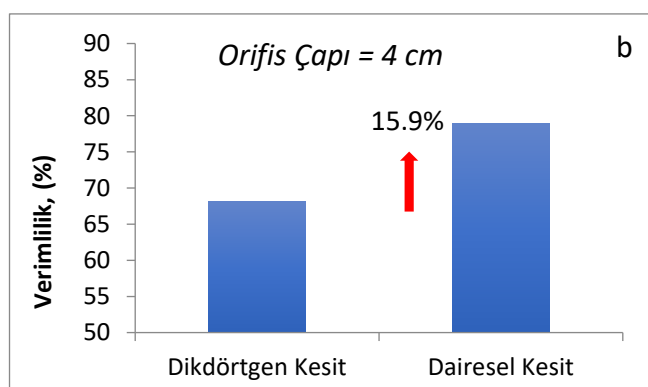
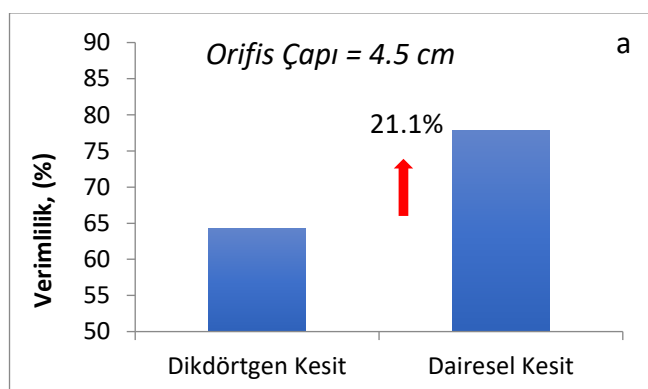
$$\xi = \frac{P_{OWC}}{P_W}, \quad (8)$$

w sembolü SSS yapısının genişliğidir. Bu eşitlik SSS yapısı tarafından absorbe edilen dalga gücünün yapı genişliğince gelen dalga gücüne oranını vermektedir.

Bulgular ve tartışma

Salınımı su sütunu yapısı (SSS) klasik uygulamalarında yapı ön duvar giriş ağzı köşeli olarak tasarılanmaktadır. Bu tasarım biçimini hazne giriş çıkışlarında akış ayrılmamasına neden olmakta ve böylece hazne ön duvari altında çevrıntı oluşumuna sebebiyet vermektedir [11]. Bu da gelen dalga enerjisinin bir kısmının zayıf olmasına ve dalga enerjisi dönüşüm verimliliğinin azalmasına neden olmaktadır. Bazı çalışmalarda enerji zayıflatmayı önlemek için SSS hazne ön duvar altı ovalleştirilmiştir [12-13]. Fakat bu çözümün de yeterli derecede fayda sağlamadığı deneysel çalışmalarla görülmüştür [14]. Bu çalışmada ise dairesel kesitli silindirik bir yapı ağzı test edilmiştir.

Dairesel kesitli ön duvar altına sahip SSS yapısının değişik orifis oranları için hesaplanan verimleri, klasik ön duvarlı yapı verimleri ile birlikte karşılaştırılmış olarak Şekil 9a-e'de verilmiştir.



Şekil 9a-e Dikdörtgen ve dairesel kesitli ön duvara sahip SSS yapısının farklı orifis oranları için hesaplanan verimleri.

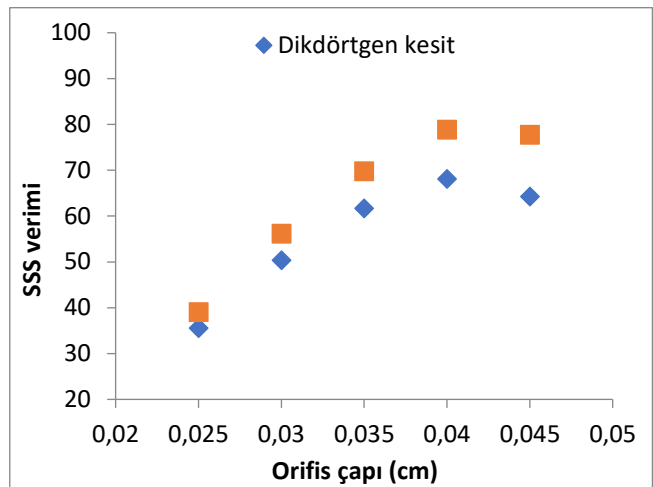
Şekil 9a-e'de anlaşılabileceği üzere SSS yapı ön duvar alt ağzında dairesel kesit kullanılması tüm orifis oranları için verim artışı sebebiyet vermiştir. En büyük orifis çapı için (4.5 cm), klasik ön duvarlı yapıya kıyasla en büyük verim artışı meydana gelmiştir (Şekil 8a). Yüzde 21.1 sayısal değerine karşılık gelen artış oranı SSS haznesi ön duvarında yapılan modifikasyonun basitleşti de düşünüldüğünde önem arz etmektedir. Bu artış oraniyla 0.64 olan verim değeri 0.78'e yükselmiştir. Verim artıları, diğer orifis çapları içinde, azalsa da, geçerlidir. Şöyleden ki, sırasıyla 4 cm, 3.5 cm, 3 cm, 2.5 cm lik orifis çapları için verim artıları (klasik yapıya nazaran), yüzde 15.9, 13.1, 11.2 ve 9.8 olarak hesaplanmıştır. Ortalama verim artışı ise yüzde 14.22 olarak gerçekleşmiştir.

İlerleyen dalga altında akışkan parçacıkları dairesel yörüngede periyodik olarak hareket etmektedir. Klasik SSS ön duvar altından yüksek hızlarda giriş çıkış yapan akışkan ön duvarın sert köşeli geometrisinden dolayı ön duvar

altında ayrılmaya maruz kalmaktadır. Bu da çevrıntı ve girdap oluşumuna neden olmaktadır, böylece, dalga enerjisinin bir kısmı su sütununa iletilememekte ve zayıf olmaktadır. Dairesel kesitli giriş ağzına sahip havne durumunda ise akışkan ön duvar altından geçerken daha yumuşak bir geçiş geometrisi sayesinde ayrılma maruz kalmamakta veya akış ayrılması miktarı düşük olmaktadır. Ayrıca, çevrıntı enerji kaybının yanı sıra oluşan girdap hemen sönmülenmemektedir, hareketine devam ederek yer değiştirmekte ve havne su altı giriş ağzını kısmi olarak bloke etmektedir. Bu şekilde yapı içine giremeyen dalga enerjisi heba olmaktadır. Dairesel ön duvar giriş ağzı böylece sadece çevrıntı hareketini engellememektedir aynı zamanda su altı giriş alanının kısmi olarak bloke olmasına da mani olmaktadır.

Şekil 9 (b-e) den de anlaşılacağı üzere SSS dalga enerji dönüştürücü verim artışıları daha düşük orifis çapı değerleri (yüksek güç alma sönmleme miktarları) içinde gerçekleşmektedir. Fakat, verim artış oranı orifis çapı azaldıkça, düşmektedir. Orifis (güç alma yapısı, örn. türbin) havne içindeki havanın çıkışını kısıtlayarak hava basıncı oluşumuna ve böylece dalga enerjisinin dönüşümüne sebep olmaktadır. Aynı zamanda orifis'in varlığı oluşturduğu hava basıncı vesilesiyle su sütunu salınım miktarları üzerinde de fiziksel baskı uygulamaktadır. Orifis çapı daha yüksek (sönmleme düşük) olduğunda su sütunu üzerinde dalga etkisiyle oluşan hava basıncı azalmakta su sütunu daha rahat hareket etmektedir. Böylece ön duvar altından yapı içine girip çıkan akışkan hızları da artmaktadır. Böylece orifis çapı yüksekken akış ayrılması miktarının daha fazla olması beklenir. Bu durumda dairesel yapı ön duvar ağzının daha etkili olduğu söylenebilir. Yüzde 21.1lik verim artışı da bunu teyit etmektedir. Daha düşük orifis çaplarında su sütunu hareketleri oluşan yüksek hava basıncı dolayısıyla kısıtlanmış olmaktadır. Bu durumda su sütunu salınım miktarı azalacak ve yapı ön duvar altından havneye giriş çıkış yapan akışkan hızları düşecektir. Bu da çevrıntı oluşum miktarını azaltacaktır. Böylece, düşük orifis çaplarında (yüksek sönmleme değerlerinde) zaten miktarca az olan enerji kayiplarını dairesel kesit daha düşük bir miktarda azaltabilecektir. Bu vesileyle, Şekil 9 a-e'de gözüktüğü üzere orifis çapı düştükçe dairesel kesitli ön duvara sahip SSS'nin verim artışı da azalmaktadır.

Bir diğer önemli husus da, ön duvar giriş ağzında oluşan ciddi mikardaki çevrıntı miktarı aynı zamanda oluşan yüksek mikardaki kayma gerilmelerine de işaret etmektedir. Bu sebeple yıpranmaya daha çok maruz kalacak olan havne ön duvarı kritik yapı olarak adlandırılmıştır [9]. Kullanılan dairesel kesitli havne giriş ağzının çevrıntıleri ve bunun ile birlikte ön duvar kayma gerilmelerini de azaltacağı öngörülebilir. Böylece, verim artışılarına sebepiyet vermesinin yanı sıra, SSS ön duvarının yıpranmaması noktasında da dairesel kesitin fayda sağlayacağı aşıkârdır.



Şekil 10. SSS veriminin orifis çapıyla değişimi

Dikkat edileceği üzere dikdörtgen kesit olsun veya dairesel kesit olsun, SSS yapısı verim değerleri orifis çapıyla da ciddi oranda değişmektedir. Şekil 10 orifis çapıyla SSS yapı verimleri arasındaki ilişkiyi göstermektedir. Şekil 10 dan da anlaşılacağı üzere düşük orifis çapları için SSS yapısı verimi de düşük olmakta, orifis çapı arttıkça verim değerleri yükselmektedir. Bu gözlemler hem dikdörtgen hem de dairesel kesitli SSS havneleri için geçerlidir. Orifis çapı 0,04m değerine ulaştığında verimlerde en yüksek değerine ulaşmaktadır. Orifis çapı 0,04m olduğunda ise verim azalmaya başlamaktadır. Bu bulgular ortaya koymaktadır ki dikdörtgen kesit olsun veya dairesel kesit olsun, SSS yapısı en yüksek verim değeri için optimum orifis çapı 0,04 m dir.

Sonuç

Salınımı su sütunu (SSS) basit çalışma prensibiyle gelecek vaat eden dalga enerji dönüştürücüler den birisidir. Fakat geleneksel SSS ön duvari dikdörtgen kesiti olup, altından periyodik olarak giriş çıkış yapan su akımı köşeli ön duvar geometrisi neticesinde akış ayrılması sebebiyet vermektede ve ciddi mikarda enerji kayipları oluşmaktadır. Bu çalışmada ön duvar SSS havne giriş ağzı için dairesel kesit düşünülmüştür. Hem klasik, hem de dairesel kesitli SSS yapıları fiziksel olarak inşa edilmiş ve gelen dalga etkisi altında, değişik güç alma yapısı (ör. türbin) sönmleme miktarları için deneyler yapılarak yapı verimlilikleri hesap edilmiştir. Dairesel kesitli yapının tüm güç alma yapısı (ör. türbin) sönmleme miktarları için veriminin, klasik kesitli yapıya nazaran arttığı hesaplanmıştır. Maksimum verim artışı, en düşük güç alma (en büyük orifis çapı) yapısı sönmleme miktarı için yüzde 21.1 olarak gerçekleşmiştir. Ortalama verim artışı ise yüzde 14.22 olarak bulunmuştur. Buda dairesel kesitli ön duvar geometrisinin, akış ayrılması ve dolayısı ile oluşacak ve dalga enerjisi giriş ağzını bloke edecek çevrıntı ve girdapları önlediğini göstermektedir. Aynı zamanda çevrıntı sonucunda meydana gelecek ve yapı ön duvarına zarar verecek kayma gerilmeleri de oluşmayacak ve SSS ömrü uzayacaktır. Ayrıca SSS yapısından maksimum verimi elde edebilmek için gerekli olan optimum orifis çapı parametresinin 0,04m olduğu bulunmuştur.

Bu çalışma dalga enerji dönüştürücülerin hidrodinamik veriminin artması noktasında yapı geometrisinin önemine dikkat çekmektedir. Ayrıca, akış boyunca olabildiğince sert değişimlerden ziyade yumuşak geçişlerin bulunmasının enerji kayiplarını ciddi miktarda azaltacağı öngörlülebilir. Bir sonraki çalışma SSS yapısının diğer köşeli bölümlerinin de kavisli bir şekilde inşa edilerek denenmesi olarak düşünülmektedir.

Etki kurul onayı ve çıkar çatışması beyanı

Hazırlanan makalede etik kurul izni alınmasına gerek yoktur.

Hazırlanan makalede herhangi bir kişi/kurum ile çıkar çatışması bulunmamaktadır.

Kaynakça

- [1] E., Amini, D., Golbaz, R., Asadi, M., Nasiri, O., Ceylan, M.M., Nezhad, M., Neshat, "A comparative study of metaheuristic algorithms for wave energy converter power take-off optimisation: a case study for eastern Australia." *J. Mar. Sci. Eng.* 9, 490, 2021.
- [2] J., Cruz, "Ocean Wave Energy: Current Status and Future Perspectives". Springer Verlag, 2008, Berlin.
- [3] G.H., Keulegan, L.H., Carpenter, Forces on cylinders and plates in an oscillating fluid. *J. Res. Natl. Bur. Stand.* 60 (5), 423–440, 1958.
- [4] G.F., Knott, M.R., Mackley, "On eddy motions near palates and ducts induced by water waves and periodic flows." *Phil. Trans. Roy. Soc. Lond.* 294, 599–628 1412, 1980.
- [5] T., Aderinto, H., Li, "Review on power performance and efficiency of wave energy converters." *Energies* 12, 4329, 2019.
- [6] G., Müller, T., Whittaker, "Visualization of flow conditions inside a shoreline wave power-station." *Ocean Eng.* 22 (6), 629–641, 1995
- [7] I.G., Morrison, "The Hydrodynamic Performance of an Oscillating Water Column Wave Energy" Converter. Ph.D. thesis, University of Edinburg, Edinburg, UK, 1995.
- [8] A., Altunkaynak, A., Çelik, "A novel Geno-Nonlinear formula for oscillating water column efficiency estimation." *Energy* 241 122513, 2022.
- [9] Lopez, I., Castro, A., Iglesias, G., "Hydrodynamic performance of an Oscillating Water Column wave energy converter by means of particle imaging velocimetry." *Energy* 83, 89–103, 2015.
- [10] Rezanejad, K., Gadelho, J.F.M., Xu, S., Guedes Soares, C., "Experimental investigation on the hydrodynamic performance of a new type floating Oscillating Water Column device with dual-chambers." *Ocean Engineering* 234, 109307, 2021.
- [11] Fleming, A., Penesis, I., Macfarlane, G., Bose, N., Denniss, T., "Energy balance analysis for an oscillating water column wave energy converter." *Ocean Engineering* 54, 26–33, 2012.
- [12] Sarmento, A.J.N.A., "Wave flume experiments on two dimensional oscillating water column wave energy devices." *Exp. Fluid* 12, 286–292, 1992.
- [13] Sarmento, A.J.N.A., "Model-test optimization of an OWC wave power plant." *Int. J. Offshore Polar Eng.* 3. No 1, 1993.
- [14] Çelik, A., "An experimental investigation into the effects of front wall geometry on OWC performance for various levels of applied power take off dampings." *Ocean Engineering* 248 110761, 2022.